

(614) ホットストリップにおけるフェライト粒の微細化

(製鋼～熱延材質制御技術の開発 X)

新日鐵(株) 大分技術研究室 ○河野 治 高橋 学 中村隆彰
脇田淳一 江坂一彬

1. 緒 言

熱延鋼板の材質は主に結晶粒度、変態組織、析出物によって支配される。材質制御技術の開発にあたっては、それらの機構を把握し、その予測方法を確立する必要がある。本報告では実機試験により製造条件(成分、圧延温度、圧下率、捲取温度など)のフェライト粒度への影響を調査し、その予測モデルを作成した。

2. 試験方法

供試鋼の化学成分をTable 1に示す。これらの供試鋼をTable 2に示す条件で現場の連続熱間圧延機(7スタンド)において圧延した。試験コイルよりサンプルを切り出し、ナイタール腐食後、C断面の粒度を切断法により測定した。

3. 結 果

3.1 超細粒鋼の製造

低温大圧下圧延により鋼板全面でG.S.No13以上の超細粒が得られた。Photo 1にその例を示す。

3.2 フェライト粒度予測モデル

Fig 1に示す手順に従ってフェライト粒度予測モデルを作成した。G.S.Noは最終スタンドのZener-Hollomon因子 Z ($Z = \dot{\varepsilon} \exp \frac{Q}{RT}$, Q :酒井ら²⁾)と相関を示し、 Z 因子とは独立に回復を考慮した累積歪パラメータ ε' とも相関を示す。(Fig 2, Fig 3)

そこでTowleとGladmanの式⁴⁾を参考にして、以下の形で

G.S.Noが記述できると仮定した。

$$N\alpha = a + b \cdot \log \varepsilon' + c \cdot \log Z + d \cdot \log (b \cdot C_{eq} + e) + f \cdot \log (\ln CR) + g \cdot \log CT$$

$N\alpha$: フェライト粒度番号, ε' : 累積歪パラメータ, Z : 最終スタンド Z 因子

C_{eq} : カーボン当量, CR : 冷却速度, CT : 捲取温度

上式を本試験材と通

常圧延材に適用し、最

小二乗法により係数を

決定したところ、精度

良く推定できた。(Fig4)

〔参考文献〕

1) 松村ら; 私信

Fig. 2. Effect of ε' on G.S.No

2) 酒井ら; 鉄と鋼, 67(1981), P140

3) 高橋ら; 鉄と鋼 投稿中

4) D. J. Towle and T. Gladman; Metal Sci., 3-4 (1974), 246

Table 1. Chemical composition (wt %)

	C	Si	Mn	P	S	T.Al	T.N	Ar ₃ * (%)
Steel A	0.162	0.228	1.22	0.016	0.005	0.016	0.0035	749
Steel B	0.166	0.008	0.66	0.024	0.012	0.015	0.0028	794
Steel C	0.075	0.182	0.40	0.012	0.009	0.006	0.0031	849

$$* Ar_3 = 901 - 325C + 33Si - 92Mn + 287P + 40Al^{(1)}$$

Table 2. Experimental condition

Initial Thickness [mm]	28, 33, 45, 55
Final Thickness [mm]	2, 3
Deformation Temp. [°C]	700 ~ 1000
Coiling Temp. [°C]	≤100, 550
Velocity(Final Stand)[mpm]	600 ~ 1500

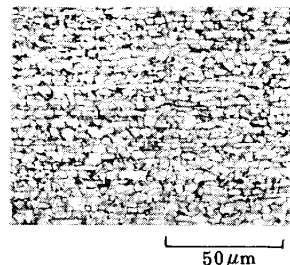


Photo 1. Example of microstructure of fine grains

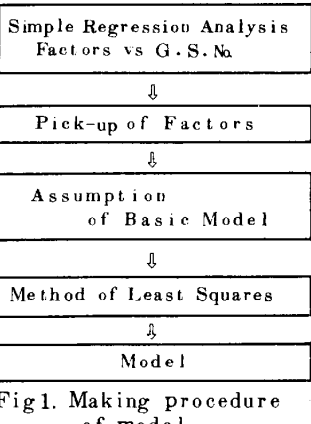


Fig 1. Making procedure of model

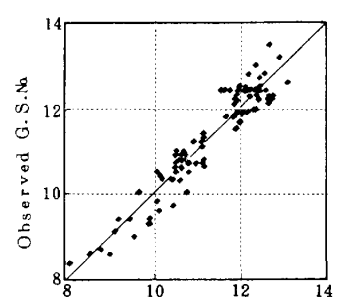
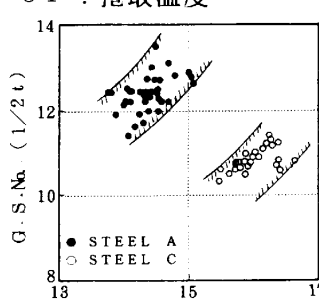
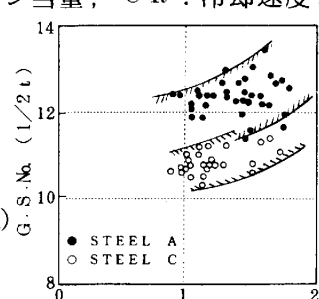


Fig. 3. Effect of log Z on G.S.No

Fig. 4. Relation between calculated G.S.No and observed G.S.No